

Эмиссия вторичных электронов из различных мишеней под действием электронов больших энергий

ЧЕРНОВ Г. Я., АККЕРМАН А. Ф., БОТВИН В. А.

В настоящей работе приводятся результаты расчетов методом Монте-Карло дифференциальных и интегральных характеристик вторичных электронов (в. э.), испускаемых из различныхmonoатомных мишеней, которые облучаются электронами с энергией 2—12 МэВ. В расчетах использована каскадная программа [1], которая реализована на ЭВМ БЭСМ-6. Основой расчетной схемы для электронов является модель «укрупненных» соударений [2]. На каждом шаге «укрупненной» траектории из распределения Мёллера разыгрывали энергию δ-электрона и находили направление его движения. Для получения несмещенной оценки необходимо ввести «вес» δ-электрона

$$W = 1 - \exp(-\sigma nt), \quad (1)$$

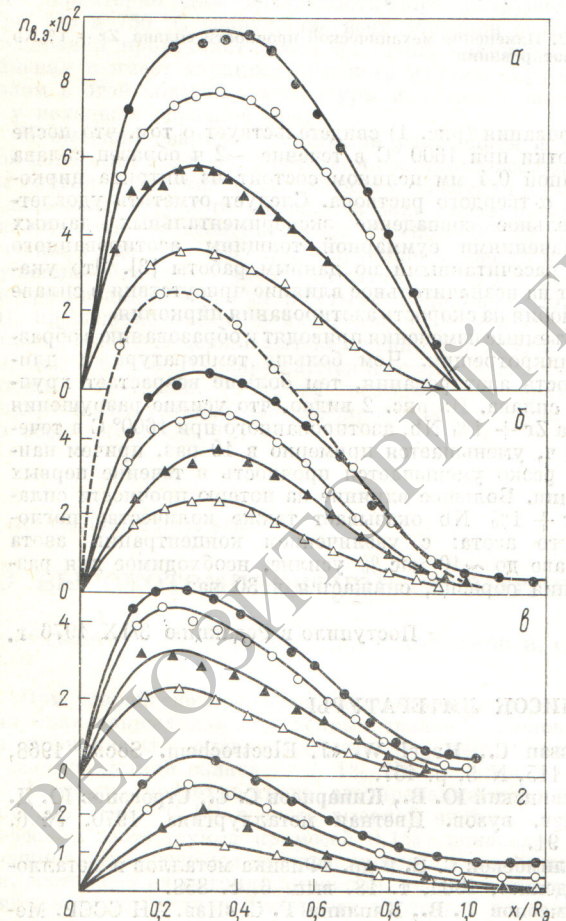


Рис. 1. Зависимость выхода в. э. от толщины мишени из бериллия (α), алюминия (β), железа (γ) и вольфрама (δ): ●, ○, ▲ и △ — $E = 12, 8, 4$ и 2 МэВ соответственно; — — — $n_δ(x/R_θ)$ по формуле (3)

где n — число электронов в 1 см^3 вещества; σ — полное сечение Мёллера. Следовательно,

$$\sigma(E) = \int_{E_{\min}}^{E/2} \frac{d\sigma_M}{dE} dE. \quad (2)$$

В нашем расчете $E_{\min} = 50$ кэВ. Это связано с тем, что сечения упругого рассеяния с энергией $E \leq 50$ кэВ требуют существенных уточнений, связанных с экранировкой. Однако погрешность, вносимая этим ограничением, невелика, так как при использовании относительно толстой мишени вклад от вторичных электронов с энергией < 50 кэВ будет малым. Энергия δ-электрона, направление его движения и «вес» запоминались. Ускорение расчетов обеспечивалось применением энергетических и других критериев обрыва траекторий. Каскадная программа позволяла оценить вклад третьичного поколения электронов, обусловленных тормозным излучением. Для этого по аналогии с δ-электронами отдельно прослеживались кванты тормозного излучения. Время прослеживания $5 \cdot 10^4$ траекторий в. э. составляло 20—30 мин. Расчеты по методу Монте-Карло можно проводить и на основе модели «катастрофических» соударений [3]. Но, как было показано в работе [4], более эффективна модель, основанная на синтезе модели «катастрофических» и «укрупненных» соударений. Отсутствие данных о затратах машинного времени не позволяет более детально сравнить различные программы.

На рис. 1 показана зависимость выхода ($n_δ$) на один падающий электрон от толщины мишени, выраженной в единицах экстраполированного пробега $R_θ$, который вычислялся по формуле [5] для электронов с $E > 6$ МэВ и по формулам [6] для $E < 6$ МэВ. Для бериллия использованы значения $R_θ$, полученные из наших кривых пропускания T_N . Статистическая точность расчета $\sim 5\%$. Для энергии $E < 8$ МэВ роль в. э. в области $x/R_θ \approx 1$ пренебрежимо мала. Однако с ростом энергии и атомного номера наблюдается неисчезающий вклад в. э. для $x/R_θ > 1$, обусловленный электронами, генерированными тормозным излучением. Согласно [5], $n_δ$ находится из формулы

$$n_δ = \frac{N_0 Z}{A} \int_{E_{\min}}^{\infty} \int_0^{\pi/2} T_N(E, Z, x) \frac{d\sigma}{d\Omega} [\bar{E}(x)] \times \times T_N \left[E(\theta), Z, \frac{d-x}{\cos \theta} \right] dx d\Omega, \quad (3)$$

где $d\sigma_M[\bar{E}(x)]/d\Omega$ — сечение Мёллера для средней энергии электронов на глубине x ($\text{г}/\text{см}^2$) в мишени с атомным номером Z ; $T_N(E, Z, x)$ — коэффициент пропускания на глубине x ; $T_N \left[E(\theta), Z, \frac{d-x}{\cos \theta} \right]$ — коэффициент пропускания для δ-электронов, испущенных под углом θ (по отношению к направлению падающего электрона) и имеющих энергию $E(\theta)$; N_0 — число Авогадро; d — толщина мишени;

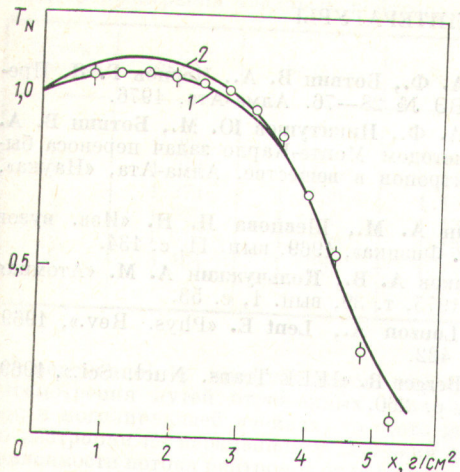


Рис. 2. Кривые пропускания $T_N(x)$ для углерода при $E = 10,2$ МэВ:
1 — эксперимент; 2 — расчет [3]; ○ — расчет методом Монте-Карло

$$\theta_{\min} = \arccos \left[\frac{E + 1,022}{E + 2,044} \right]^{1/2} \quad (E, \text{МэВ}). \quad (4)$$

Из рис. 1 видно, что формула (3) дает завышенные значения выхода во всем диапазоне x/R_0 . При расчете по ней получаются завышенные выходы, особенно для веществ с малым Z , что следует из рис. 2, где сравнивается кривая пропускания электронов с $E_0 = 10,2$ МэВ в углероде с экспериментальными результатами [5]. Таким образом, формула (3) может быть использована только для самых приближенных оценок.

Полученные в расчете методом Монте-Карло зависимости $n(x/R_0)$ для Al, Fe, W можно представить с помощью эмпирической формулы

$$n_\delta = A \exp \left[-a(x/R_0) \right] \sin [b(x/R_0)], \quad (5)$$

где $A = 0,109 Z^{-0,35} E^{0,48}$, $a = 2,16$, $b = 3,306$. Для $x/R_0 = 0,95$ формула (5) дает $n_\delta = 0$, т. е. в ней не учитываются вторичные электроны, образованные термозным излучением на большой глубине. Точность аппроксимации n_δ с помощью формулы (5) составляет 20–30% и повышается с ростом Z . Эту формулу можно использовать для оценок коэффициента пропускания T_N .

Независимость выхода в. з. от атомного номера для одинаковой толщины мишени ($x \leq 2$ г/см²) и электронов с энергией 30 МэВ, установленная в работе Зависимость выхода в. з. от атомного номера для различных толщин мишеней

12 МэВ			8 МэВ			4 МэВ		
Al	Fe	W	Al	Fe	W	Al	Fe	W
0,045	0,046	0,033						
			$x = 1$ г/см ²	$x = 1$ г/см ²	$x = 1$ г/см ²			
0,045	0,046	0,033	0,044	0,042	0,026	0,028	0,016	0,005
			$x = 2$ г/см ²	$x = 2$ г/см ²	$x = 2$ г/см ²			
0,057	0,045	0,028	0,040	0,028	0,011	—	—	—

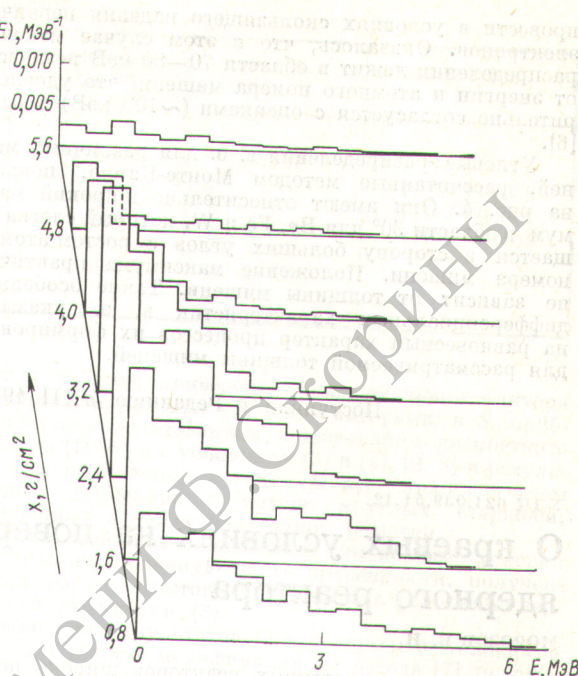


Рис. 3. Энергетические спектры в. з. на разной глубине в железе при $E = 12$ МэВ

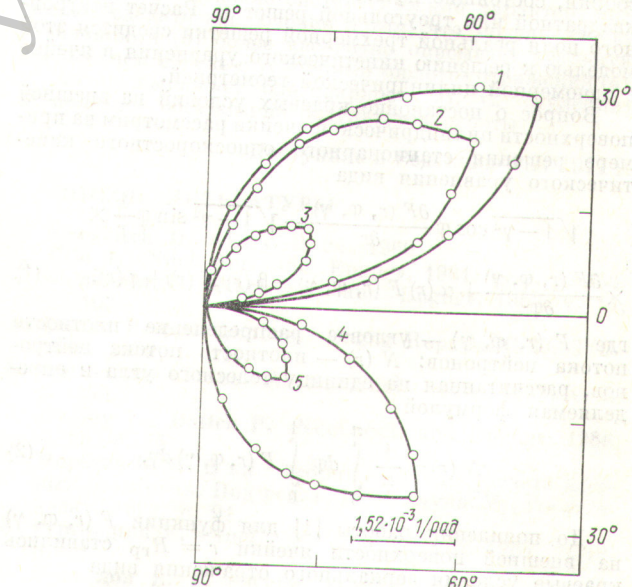


Рис. 4. Угловые распределения в. з. для Be (1), Fe (2, 3) и W (4, 5) при $E = 12$ МэВ и $x = 6,4; 2,4; 4; 1,2$ и $3,6$ г/см² соответственно (указан масштаб по радиус-вектору)

[6], не подтверждается нашими расчетами (см. таблицу) для более низких энергий.

На рис. 3 показаны энергетические спектры в. з., рассчитанные методом Монте-Карло. Более детальный анализ энергетического распределения в. з. удается

проводить в условиях скользящего падения первичных электронов. Оказалось, что в этом случае максимум распределения лежит в области 70–80 кэВ независимо от энергии и атомного номера мишени, что удовлетворительно согласуется с оценками (~ 100 кэВ) в работе [6].

Угловые распределения в. э. для различных мишеней, рассчитанные методом Монте-Карло, показаны на рис. 4. Они имеют относительно широкий максимум в области 30° для Be, Fe и W, который слегка смещается в сторону больших углов с ростом атомного номера мишени. Положение максимума практически не зависит от толщины мишени. Такие особенности дифференциальных характеристик в. э. указывают на равновесный характер процессов их формирования для рассматриваемой толщины мишени.

Поступило в Редакцию 4/XII 1976 г.

УДК 621.039.51.12

О краевых условиях на поверхности цилиндрической ячейки ядерного реактора

МОРОЗОВ В. Н.

В теории гетерогенных реакторов широко используется понятие одномерной многозонной цилиндрической ячейки, моделирующей реальные физические сборки, состоящие из стержней, размещенных в узлах квадратной или треугольной решетки. Расчет нейтронного поля реальной трехмерной решетки сводится этой моделью к решению кинетического уравнения в ячейке с одномерной цилиндрической геометрией.

Вопрос о постановке краевых условий на внешней поверхности цилиндрической ячейки рассмотрим на примере решения стационарного односкоростного кинетического уравнения вида

$$\begin{aligned} \sqrt{1-\gamma^2} \cos \varphi \frac{\partial F(r, \varphi, \gamma)}{\partial r} - \sqrt{1-\gamma^2} \sin \varphi \frac{1}{r} \times \\ \times \frac{\partial F(r, \varphi, \gamma)}{\partial \varphi} + \alpha(r) F(r, \varphi, \gamma) = \beta(r) N(r) + q(r), \end{aligned} \quad (1)$$

где $F(r, \varphi, \gamma)$ — угловое распределение плотности потока нейтронов; $N(r)$ — плотность потока нейтронов, рассчитанная на единицу телесного угла и определяемая формулой

$$N(r) = \frac{1}{\pi} \int_0^{\pi} d\varphi \int_0^1 F(r, \varphi, \gamma) d\gamma. \quad (2)$$

До появления работы [1] для функции $F(r, \varphi, \gamma)$ на внешней поверхности ячейки $r = R_{\text{гр}}$ ставились краевые условия зеркального отражения вида

$$F(R_{\text{гр}}, \varphi, \gamma) = F(R_{\text{гр}}, \pi - \varphi, \gamma) \quad (3)$$

для $\pi/2 \leq \varphi \leq \pi$, $0 \leq \gamma \leq 1$. В работе [1] было показано, что постановка условий (3) на поверхности цилиндрической ячейки теплового реактора приводит к завышению плотности потока нейтронов в замедлителе. Этот эффект был подтвержден расчетно-экспериментальным путем [2], где определялся фактор проигрыша тепловых нейтронов (отношение средних плотностей потоков нейтронов в замедлителе и топливе) для квад-

СПИСОК ЛИТЕРАТУРЫ

- Аккерман А. Ф., Ботвин В. А., Чернов Г. Я. Препринт ИФВЭ № 28—76. Алма-Ата, 1976.
- Аккерман А. Ф., Никитушев Ю. М., Ботвин В. А. Решение методом Монте-Карло задач переноса быстрых электронов в веществе. Алма-Ата, «Наука», 1972.
- Кольчужкин А. М., Шевцова И. Н. «Изв. вузов СССР. Сер. Физика», 1969, вып. 11, с. 134.
- Пляшеников А. В., Кольчужкин А. М. «Атомная энергия», 1975, т. 39, вып. 1, с. 53.
- Ebert P., Louzon A., Lent E. «Phys. Rev.», 1969, v. 183, p. 422.
- Naber J., Berger R. «IEEE Trans. Nucl. Sci.», 1969, v. 16 (6), p. 260.

ратных уран-водных решеток с малым шагом. Фактор проигрыша в P_3 - и S_8 -приближениях с условиями зеркального отражения имел аномально высокие значения.

Краевые условия для уравнения P_3 -приближения, соответствующие зеркальному отражению, были модифицированы [3] требованием равенства нулю градиента функции N_r в точке $r = R_{\text{гр}}$ (такие условия «нулевого градиента» были предложены в работе [4]). Эта модификация привела к устранению аномально высоких значений фактора проигрыша для ячеек, исследованных ранее [2].

В работе [5] вместо постановки краевых условий на поверхности $r = R_{\text{гр}}$ было предложено окружать цилиндрическую ячейку колышевым слоем из чисто рассеивающего вещества с оптической толщиной не менее двух свободных пробегов. Фактически такой прием являлся приближенной имитацией использованных позднее многими авторами краевых условий «белого» отражения, при которых излучение, выходящее из ячейки, возвращается в нее, отразившись от поверхности $r = R_{\text{гр}}$, распределенным изотропно:

$$F(R_{\text{гр}}, \varphi, \gamma) = C \quad (4)$$

для $\pi/2 \leq \varphi \leq \pi$, $0 \leq \gamma \leq 1$.

В работе [6] были приведены результаты расчетов фактора проигрыша для ячеек [2], полученные разными авторами при различных краевых условиях и методах решения уравнения (1). Анализ результатов показал, что модель цилиндрической ячейки дает наиболее разумные оценки депрессии плотности потока нейтронов при краевых условиях «нулевого градиента» и при условиях «белого» отражения (4).

Качественное сравнение условий формирования потока нейтронов на гранях реальной ячейки и на поверхности цилиндрической ячейки-модели позволяет сделать предположение о том, что условия «белого» отражения (4) содержат в себе такой элемент, который требует уточнения. Действительно, если для отраженного от поверхности $r = R_{\text{гр}}$ потока нейтронов изотропия